

УДК 621.039.5

О возможностях уменьшения минимальной критической массы реактора на тепловых нейтронах

КОСТРИЦА А. А.

Минимальную критическую массу имеет реактор с постоянным потоком тепловых нейтронов Φ в активной зоне [1].

Зафиксируем параметры замедлителя: диффузионную длину L и длину замедления $V\bar{\tau}$. Тогда для реактора, у которого $\Phi = \text{const}$ в активной зоне, можно найти [1, 2] критический размер R , функцию распределения топлива $\psi(r)$ и интеграл от ψ по объему активной зоны. Не нарушая условий теоремы Герцеля, покажем, что при радиальном движении замедлителя из активной зоны в отражатель можно получить меньшую критическую массу, чем при неподвижном замедлителе.

Рассмотрим это на примере плоского реактора с бесконечным отражателем и однородным замедлителем в двухгрупповом приближении. Обозначим η — число вторичных нейтронов, возникающих на один захваченный в топливе; ψ — отношение сечения поглощения в топливе к сечению поглощения в замедлителе; ζ — отношение среднего смещения нейтронов движущимся замедлителем к длине диффузии L . Размер активной зоны в направлении оси x равен $2R$. Примем R за единицу длины. Найдем такое распределение топлива, при котором в активной зоне $\Phi = \text{const}$, несмотря на движение замедлителя. Замедлитель растекается симметрично по оси $xb \pm \infty$. Для этих условий легко найти полное количество топлива аналогично расчету минимальной критической массы в [2], введя конвективный член в уравнение диффузии для группы тепловых нейтронов. Тогда получим

$$\int_{-1}^{+1} \psi dx = \frac{2}{\eta - 1} (1 + Q V\bar{\tau}), \quad (1)$$

где

$$Q = \frac{1 - \frac{L^2}{\tau} - \zeta \frac{L}{V\bar{\tau}}}{1 - \frac{L}{V\bar{\tau}} \left(\sqrt{1 + \frac{\zeta^2}{4}} - \frac{\zeta}{2} \right)}. \quad (2)$$

Условие критичности имеет вид

$$\operatorname{ctg} \sqrt{\frac{\eta - 1}{\tau}} = V\bar{\tau} \left[1 - \frac{\eta}{Q(\eta - 1)} \right]. \quad (3)$$

УДК 661.039.51

Абсолютные измерения скоростей захватов нейтронов в ^{238}U и делений в ^{239}Pu

ДУЛИН В. А., МОЖАЕВ В. К.

Отношение скорости захватов нейтронов в ^{238}U к скорости делений в $^{239}\text{Pu}(C^8/F^9)$ важно с точки зрения расчета критичности быстрых энергетических реакторов и коэф-

При $\zeta = 0$ получим соответствующие формулы для реактора Герцеля в работе [2].

Пусть $\eta = 1,25$; $L/V\bar{\tau} = 10$, тогда при $\zeta = 0$; $V\bar{\tau} = 0,3833$; $\psi(x = 1) = 10$; $\int_{-1}^{+1} \psi dx = 41,73$. При $\zeta = 1$ находим: $V\bar{\tau} = 0,3521$; $\psi(x = 1) = 6,1804$; $\int_{-1}^{+1} \psi dx = 28,23$. Таким образом, при $\zeta = 1$ размер активной зоны стал несколько больше, а концентрация топлива меньше, особенно на границе активной зоны и отражателя (при $x \rightarrow \pm 1$); критическая масса уменьшилась на 25%.

Без учета рассеяния на неподвижных материалах активной зоны $\zeta = 1$ соответствует скорости потока тяжелой воды ~ 10 м/с. Если изменить знак скорости движения замедлителя (замедлитель выходит из отражателя в активную зону), то критическая масса получится больше, чем при $\zeta = 0$. Таким образом, вывод о влиянии движения теплоносителя на критическую массу не тривиален.

В работе [3] было отмечено сглаживающее влияние движения теплоносителя на максимумы концентрации топлива вблизи границы активной зоны с отражателем в реакторе с профицированным энерговыделением. Критическую массу такого реактора иногда можно минимизировать [4], вводя на периферии активной зоны промежуточную зону с $\Phi = \text{const}$. К такому варианту оптимизации реактора приложим рассуждения, приведенные выше для реактора Герцеля в отношении влияния увеличения нейтронов движущимся теплоносителем на минимальную критическую массу.

Поступило в Редакцию 1/IX 1977 г.

СПИСОК ЛИТЕРАТУРЫ

1. Goertzel G. «J. Nucl. Energy», 1956, v. 2, N 3, p. 193.
2. Галанин А. Д. Теория ядерных реакторов на тепловых нейтронах. М., Атомиздат, 1957, с. 334.
3. Кострица А. А. «Изв. АН Каз. ССР, сер. физ.-мат. науки», 1973, № 6, с. 65.
4. Кострица А. А., Носов Б. П. Там же, 1972, № 2, с. 15.

фициента воспроизводства топлива в них. Абсолютную скорость захватов нейтронов в ^{238}U измеряли по наведенной активности ^{239}Np (γ -излучение), используя калиб-

рованный источник ^{243}Am для определения эффективности регистрации γ -излучения в детекторе [1]. Определяя абсолютную скорость делений ^{239}Pu , обычно использовали камеру деления с известным числом ядер ^{239}Pu , а эффективность регистрации осколков делений в камере получали расчетным путем [1].

В настоящей работе предложена модификация этого метода, основанная на экспериментальном определении эффективности регистрации осколков делений в камере со слоем плутония путем сравнения ее характеристик с аналогичной по конструкции и электрическим параметрам камерой, содержащей слой спонтанно делящегося ^{252}Cf . Эффективность регистрации осколков деления в камере со слоем ^{252}Cf измеряли экспериментально несколькими методами [2, 4].

Скорость захватов нейтронов в ядрах ^{238}U находили по интенсивности γ -излучения ^{239}Np ($E_{\gamma} = 277,6$ кэВ), образующегося в цепочке β -распада ^{239}U при захвате нейтронов ядрами ^{238}U . В качестве детектора использовали полупроводниковой германиевый детектор (ПГД). В эксперименте применяли урановые металлические фольги диаметром 10 мм и массой 100–150 мг природного состава или обедненные по содержанию ^{235}U . Число ядер урана в фольгах определяли путем взвешивания на точных аналитических весах. Для определения эффективности регистрации γ -излучения в детекторе и выхода γ -излучения с энергией 277,6 кэВ на один β -распад ^{239}Np использовали откалиброванный источник ^{243}Am , который имеет такие же выходы и спектр γ -излучения на распад, как и ^{239}Np [1]. Калибровку ^{243}Am проводили по измерению интенсивности α -частиц в хорошо известной геометрии с помощью полупроводникового кремниевого детектора (ПКД).

Конструкция источника ^{243}Am и геометрия измерений на ПГД были идентичны условиям измерений облученных урановых фольг (рис. 1).

Ниже показаны источники и значения погрешностей (%) при определении абсолютного числа захватов в ^{238}U :

| | |
|---|---------|
| Статистическая погрешность | 0,6 |
| Число ядер ^{238}U в фольге | 0,3 |
| Активность источника ^{243}Am | 0,33 |
| Самопоглощение γ -излучения в фольге | 0,3–0,4 |
| Время облучения и период полураспада ^{239}Np | 0,35 |
| Поправка на отличие форм распределения ядер ^{239}Np в облученной фольге и в источнике ^{243}Am | 0,1 |
| Самопоглощение γ -излучения в источнике ^{243}Am | 0,001 |
| Общая погрешность абсолютного числа захватов | 0,91 |

В полную погрешность не включена погрешность, обусловленная поправкой для измеренной скорости захвата нейтронов в фольге конечных размеров («блокировка» сечения захвата). Эта поправка зависит от спектра нейтронов и может быть измерена экспериментально, для этой цели используют набор фольг различной толщины.

Абсолютную скорость делений ядер ^{239}Pu определяли по скорости счета импульсов от плоской камеры деления с известным числом ядер плутония и известной полной эффективностью регистрации актов деления в слое плутония в камере. Вклад делений ^{240}Pu и ^{241}Am не превышал 0,15%. Использование быстрого импульсного токового предусилителя позволило получить хорошую форму распределения осколков деления

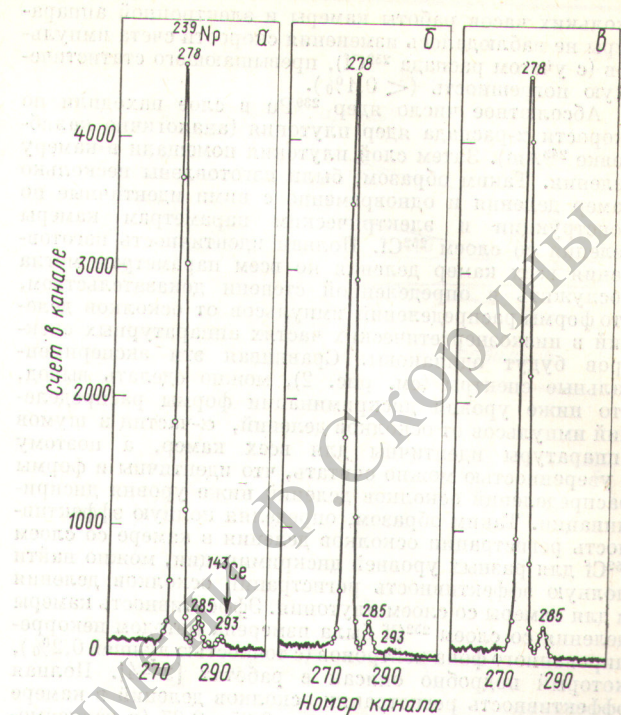


Рис. 1. Аппаратурный спектр γ -излучения (цифры над пиками — энергия, кэВ):

а, б — облученная фольга из природного и обедненного урана соответственно; в — источник ^{243}Am

и α -частиц в аппаратурном спектре (рис. 2) и, как следствие этого, хорошую счетную характеристику. Стабильность всего электронного тракта (предусилитель, дискриминатор, анализатор, пересчетный прибор) проверяли с помощью камеры деления, содержащей слой спонтанно делящегося ^{252}Cf . В течение не-

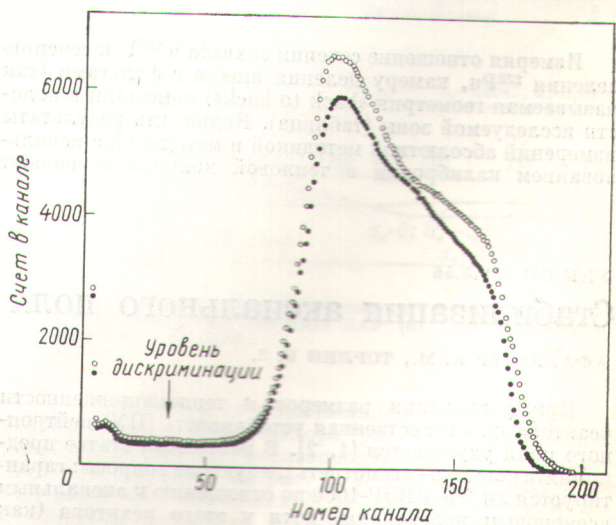


Рис. 2. Аппаратурные спектры осколков деления в камерах со слоями ^{239}Pu (○) и ^{252}Cf (●)

скольких часов работы камеры и электронной аппаратуры не наблюдалось изменения скорости счета импульсов (с учетом распада ^{252}Cf), превышающего статистическую погрешность ($< 0,1\%$).

Абсолютное число ядер ^{239}Pu в слое находили по скорости α -распада ядер плутония (аналогично калибривке ^{243}Am). Затем слой плутония помещали в камеру деления. Таким образом, были изготовлены несколько камер деления и одновременно с ними идентичные по конструкции и электрическим параметрам камеры деления со слоем ^{252}Cf . Полная идентичность изготовления всех камер деления по всем параметрам могла послужить в определенной степени доказательством, что формы распределений импульсов от осколков делений в низкоэнергетических частях аппаратурных спектров будут одинаковы. Сравнивая эти экспериментальные спектры (см. рис. 2), можно сделать вывод, что ниже уровня дискриминации формы распределений импульсов от осколков делений, α -частиц и шумов аппаратуры идентичны для всех камер, а поэтому с уверенностью можно считать, что идентичны и формы распределений осколков делений ниже уровня дискриминации. Таким образом, определяя полную эффективность регистрации осколков деления в камере со слоем ^{252}Cf для разных уровней дискриминации, можно найти полную эффективность регистрации осколков деления и для камеры со слоем плутония. Эффективность камеры деления со слоем ^{252}Cf была измерена методом некоррелированного фона нейтронов (с точностью лучшей 0,2%), который подробно описан в работах [2—4]. Полная эффективность регистрации осколков делений в камере со слоем плутония составляла 0,95—0,97 (в зависимости от уровня дискриминации). Ниже показаны источники и значения погрешностей (%) при определении абсолютного числа делений ^{239}Pu :

| | |
|---|------|
| Статистическая погрешность | 0,45 |
| Полная эффективность регистрации актов делений в слое камеры деления и просчеты | 0,4 |
| Число ядер ^{239}Pu в слое камеры деления | 0,34 |
| Вклад от делений присутствующих в слое ^{240}Pu и ^{241}Am | 0,15 |
| Общая погрешность абсолютного числа делений | 0,55 |

Измеряя отношение сечения захвата в ^{238}U к сечению деления ^{239}Pu , камеру деления вместе с фольгами (так называемая геометрия «back to back») помещали в полости исследуемой зоны (таблица). Видно, что результаты измерений абсолютной методикой и методикой с использованием калибривки в тепловой колонне совпадают

УДК 621.039.5.56

Стабилизация аксиального поля ВВЭР-1000

АФАНАСЬЕВ А. М., ТОРЛИН Б. З.

При увеличении размеров и теплонапряженности реактора пространственная устойчивость (ПУ) нейтронного поля ухудшается [1, 2]. В настоящей статье предпринята попытка рассмотреть следующие вопросы: гарантируется ли ПУ ВВЭР-1000 по отношению к аксиальным ксеноновым колебаниям, хотя у этого реактора (как и у ВВЭР-440) мощностные коэффициенты реактивности (МКР) будут отрицательными, и как влияет система

Результаты измерений отношения C^8/F^9 в быстрых критических сборках БФС

| Сборка | Метод | |
|------------|-------------------------|-------------------------------|
| | Абсолютные измерения | Калибривка в тепловой колонне |
| БФС-31-3 | $0,1550 \pm 0,0017$ [7] | $0,1580 \pm 0,0043$ [7] |
| БФС-33-1-1 | $0,1500 \pm 0,0017$ [7] | $0,1530 \pm 0,0042$ [7] |
| БФС-35-1 | $0,1121 \pm 0,0012$ | $0,1130 \pm 0,0030$ |
| БФС-35-2 | $0,1114 \pm 0,0012$ | $1,1122 \pm 0,0030$ |

в пределах экспериментальных погрешностей. Однако представляло интерес сравнить результаты измерения абсолютной методикой с результатами измерений на совокупном международном экспериментальном стандарте SCHERZO-556 [5, 6]. С этой целью были проведены измерения на сборке БФС-35 [7], аналогичной по своим параметрам сборкам, вошедшим в SCHERZO-556.

Измеренные отношения сечений на сборках БФС-35-1 и БФС-35-2 переносились на SCHERZO-556 аналогично переносу,енному в работах [5, 6]. Для БФС-35-1,2 $C^8/F^9 = 1,1051 \pm 0,0012$; для SCHERZO-556 $C^8/F^9 = 0,1057 \pm 0,0015$ [6] и $0,1046 \pm 0,0015$ [5]. Сравнение результатов переноса указывает на хорошее согласие.

В заключение авторы выражают благодарность Ю. А. Казанскому за полезные обсуждения.

Поступило в Редакцию 12/VIII 1977 г.

СПИСОК ЛИТЕРАТУРЫ

- Chawla R., Besant C. «J. Brit. Nucl. Energy Soc.», 1970, v. 9, N 1, p. 28.
- Doolin V., Mozhaev V. «Nucl. Instrum. and Methods», 1972, v. 105, p. 277.
- Ефименко В. Ф., Можаев В. К., Дулин В. А. «Атомная энергия», 1975, т. 39, вып. 1, с. 54.
- Можаев В. К. «Атомная энергия», 1976, т. 40, вып. 2, с. 174.
- Darrouzet M. e.a. In: Proc. IAEA Symp. «Fast Reactor Physics». Tokyo, 1973, v. 1. Rep. A-28.
- Chaudat J. e.a. Rep. CEA-R-4552; Rep. KFK-1865, 1974.
- Белов С. П. и др. Изучение отношения захвата в ^{238}U к делениям ^{239}Pu и ^{235}U в быстрых критических сборках. Докл. на Всесоюзн. семинаре по резонансному поглощению нейтронов. М., 21—23 июня 1977 г.

ма автоматического регулирования (AP) на ПУ этого реактора.

Степень аксиальной устойчивости (АУ) ВВЭР-1000 определяли по рассчитываемой программой ИРИНА (см. настоящий выпуск, с. 487) величине $Re \omega_1$, где ω_1 — обладающая наибольшей действительной частью собственная комплексная частота аксиальных колебаний